

# 强磁场下横向输运过程的微扰理论\*

陈 式 刚

## 提 要

本文利用文献[9]的理论,讨论了强磁场下输运过程中的几个问题。文章首先指出在朗道表示中的输运过程要明显考虑边界条件问题。对横向电导,在正确处理边界条件后,不需要解玻耳兹曼型的输运方程,并在任意级的微扰下,证明 Titeica 图象是正确的。其次讨论了外电场  $\omega \neq 0$  时的解,及其向经典过渡的问题,指出在同样的  $\omega_H \tau > 1$ ,  $E_0 \tau \gg 1$  的条件下,量子解与经典解是不同的。最后,在附录中讨论了态密度积分引起的发散消除问题。指出在实际情况下,除了  $-\ln(\epsilon_c/kT)$  项外,  $(\frac{\epsilon_c}{kT})^0$  项是同样重要的,它使量子极限下的  $\rho_T/\rho_L$  值得到与实验相符的结果。

## 一、引 言

强磁场下的输运过程由于其简单性与特殊性,引起了人们的兴趣。这里所谓强磁场是指电子在磁场中的回旋频率  $\omega_H = eH/mc$  与弛豫时间  $\tau$  之积  $\omega_H \tau > 1$  或  $\gg 1$  的情况。在  $\omega_H \tau \gg 1$  的极限情况,垂直磁场方向的输运过程是一种最简单的典型的局域态输运过程的例子。这些局域状态在空间有规则地排列,但又不产生象能带论中 Bloch 公有化现象。此外,在理论上只要用微扰方法就能得到与实验可以比较的结果。

强磁场下横向输运过程理论,经过 Titeica<sup>[1]</sup>, Лифшиц<sup>[2,3]</sup>, Argyres<sup>[4,5]</sup>, Adams 与 Holstein<sup>[6]</sup> 及 Kubo, Hasegawa 与 Hashitsume<sup>[7]</sup> 的工作,在最低级微扰下已经有了清楚的了解。但是对理论的基础,则了解得很少,尤其有下面二个方面的问题,使人感到是很不清楚的:第一,我们不了解作为一种输运过程,它具有什么特点。任何输运过程都与趋向平衡现象联系在一起,对这类问题往往需要解输运方程,对作用展开会得到发散的结果。上述作者完全没有考虑这些问题,因而容易使人怀疑,现在的理论是否已经包含了所有最主要项的贡献,是否部分的高次项之和会给出低次项。第二,我们不了解量子理论与经典理论之间的关系。现有的量子理论是在经典展开式

$$\tau/1 + \omega_H^2 \tau^2 = \frac{1}{\omega_H^2 \tau} \left( 1 - \frac{1}{\omega_H^2 \tau^2} + \dots \right) \quad (1)$$

启发之下,认为  $\omega_H \tau \gg 1$  时,输运系数可以对作用展开而得到的。如果这种类比是正确的话,是否将量子理论中微扰级数的主要项加起来,也能得到(1)的结果呢?当我们没有很好理解第一个问题时,第二个问题也具有基本意义,它牵涉到量子理论是否正确的問題。若不是如此,则第二个问题也具有实际意义。为了搞清楚这两个问题,需要研究输运系数对作用展开的整个微扰级数的结构及其发散的消除问题。

\* 1963年6月29日收到。

Van Hove<sup>[8]</sup> 在研究趋向平衡现象时指出,以平面波描述单粒子的多体系统具有对角奇异性,其作用矩阵元之对角部分比非对角部分大  $N$  倍以上 ( $N$  为系统总粒子数). 在文献[9]中指出,朗道表示的多体系统,对电子-电子作用有  $N^{2/3}$  以上的对角奇异性. 同样可以看到,在朗道表示中,对电子-声子作用,电子部分有  $N_p$  以上的对角奇异性 ( $N_p$  为声子数),声子部分有  $N^{2/3}$  以上对角奇异性. 对电子-杂质作用,则具有  $N_i$  以上奇异性 ( $N_i$  为杂质总数). 对角奇异性引起微扰级数的发散,消除发散后就给出趋向平衡的结果. 在文献[9]中,利用文献[8]的结果,讨论了线性输运系数,并将它用到强磁场下的输运过程中去. 在最后得到的表示式中,给出了输运系数的完全微扰展开,并已消除了发散. 这表示式可分为可约部分及不可约部分. 可约部分相当于通常玻耳兹曼方程的解,它直接与趋向平衡现象联系在一起. 在本文中利用这些结果来讨论前面提出的二个问题. 为简单与确定起见,我们只讨论电流磁效应.

为了使文章完整与易读,在第二节中先简述电子在磁场中的算符与本征函数及文献[9]中有关的结果. 以后利用文献[9]与趋向平衡理论紧密联系这一优点,讨论输运系数的某些性质,其中大部分在文献[7]中已经得到,不过用本文方法可以更合理地证明它.

在第三节中讨论稳定态的输运过程,证明输运系数可约部分有二个解,一个对应平衡态的解,一个对应非平衡态的解. 选择满足输运过程边界条件的解,对任何作用,输运系数可约部分恒等于零. 于是我们证明了可以用微扰方法计算输运系数,所得的任意级微扰表达式表明 Titeica 的横向电导的跳跃图象是正确的. 在这节中还简单地讨论了霍耳效应展开式的意义. 第四节讨论外电场  $\omega \neq 0$  时输运过程. 在共振区域,  $\omega \approx \omega_H$ , 得到与经典一致的结果,不过弛豫时间的意义与经典的不同. 在  $\omega = 0$  时,只要朗道表示可以作为未微扰态,量子理论与经典的结果(1)不同. 在讨论中,我们将本文结果与另一种局域态输运过程——杂质电导<sup>[10]</sup>作了比较.

第三节的讨论消除了与趋向平衡联系在一起的微扰展开的发散,第四节消除了  $\omega \approx \omega_H$  时将缝宽作为零引起的发散. 在强磁场中,将缝宽作为零还会引起态密度积分的发散<sup>[6]</sup>. 对这问题的理解在文献中是清楚的,不过用本文的方法能认真地处理它. 我们将在最后一个附录中讨论它. 正确地消除这个发散,使横阻与纵阻之比得到与实验一致的结果.

## 二、输运系数的表示式及其基本性质

在强磁场下,输运过程中的电子可以用朗道表示描述. 设磁场沿  $z$  方向,选择规范使  $\mathbf{A} = (0, xH, 0)$ , 则电子的哈密顿算符为

$$H_e = \frac{1}{2m} [p_x^2 + (p_y + m\omega_H x)^2 + p_z^2], \quad (2)$$

在这规范中,电子的本征态为

$$\psi_{nk_y k_z} = (L_y L_z)^{-\frac{1}{2}} \phi_n \left( x + \frac{\hbar k_y}{m\omega_H} \right) e^{ik_y y} e^{ik_z z}. \quad (3)$$

$L_y, L_z$  为系统的边长,  $\phi_n$  为简谐振子波函数. 相应的能量本征值为

$$\epsilon_{nk_y k_z} = \left( n + \frac{1}{2} \right) \hbar\omega_H + \frac{\hbar^2 k_z^2}{2m}. \quad (4)$$

引入相对坐标  $\mathbf{r} = (r_x, r_y)$  与中心坐标  $\mathbf{R} = (R_x, R_y)$ :

$$r_x = \frac{c}{eH} (p_y + m\omega_H x), \quad r_y = -\frac{c}{eH} p_x, \quad (5)$$

$$R_x = x - r_x, \quad R_y = y - r_y. \quad (6)$$

它们满足交换关系:

$$[r_x, r_y] = \frac{\hbar}{i} \frac{c}{eH}, \quad [R_x, R_y] = -\frac{\hbar}{i} \frac{c}{eH}, \quad (7)$$

$$[r_x, R_x] = [r_x, R_y] = [r_y, R_x] = [r_y, R_y] = 0, \quad (8)$$

$$[He, R_x] = [He, R_y] = 0. \quad (9)$$

在(3)表示中,  $R_x$  是对角化的. 由于  $R_x$  与  $R_y$  满足(7)之交换关系, 它们不能同时对角化.

在外电场  $E(t) = E(\omega)e^{i\omega t}$  中的电导张量为

$$\sigma_{\mu\nu}(\omega) = \int_0^\infty dt e^{-i\omega t} \int_0^\beta d\lambda \text{Sp}[j_\nu(-i\hbar\lambda)j_\mu(t)\rho], \quad (10)$$

$\rho = e^{-\beta H}$  (暂不考虑归一化问题). 假设

$$f_{\mu\nu}(\omega) = \frac{1}{2} \int_{-\infty}^\infty dt e^{-i\omega t} \int_0^\beta d\lambda \text{Sp}[j_\nu(-i\hbar\lambda)j_\mu(t)p], \quad (11)$$

则(10)可以写成

$$\sigma_{\mu\nu}(\omega) = f_{\mu\nu}(\omega) + \frac{i}{\pi} \int_{-\infty}^\infty d\omega' \frac{p f_{\mu\nu}(\omega')}{\omega' - \omega}. \quad (12)$$

完成(11)中对  $\lambda$  与  $t$  的积分:

$$f_{\mu\nu}(\omega) = \frac{2\pi}{\omega} \sinh \frac{1}{2} \beta\omega \int_{-\infty}^\infty dE \text{Sp} \left[ j_\nu \delta \left( H - E - \frac{1}{2} \omega \right) \times \right. \\ \left. \times j_\mu \delta \left( H - E + \frac{1}{2} \omega \right) \right] e^{-\beta E}. \quad (13)$$

利用预解式算符  $R(z) = 1/(H - z)$  与系统的对角奇异性, 可以将  $f_{\mu\nu}(\omega)$  展开:

$$f_{\mu\nu}(\omega) = (2\pi\omega)^{-1} \sinh \frac{1}{2} \beta\omega \int_{c_1} dE \left\{ \text{Sp} \left[ j_\nu R \left( E + \frac{1}{2} \omega + i\varepsilon \right) j_\mu R \left( E - \frac{1}{2} \omega - i\varepsilon \right) \right]_{Bd} + \right. \\ \left. + j_{\nu-+}(E, -\omega) X_{+-}(E, \omega) j_{\mu+-}(E, \omega) \right\} e^{-\beta E} + \\ + (2\pi\omega)^{-1} \sinh \frac{1}{2} \beta\omega \int_{c_2} dE \left\{ \text{Sp} \left[ j_\nu R \left( E + \frac{1}{2} \omega - i\varepsilon \right) j_\mu R \left( E - \frac{1}{2} \omega + \right. \right. \right. \\ \left. \left. \left. + i\varepsilon \right) \right]_{Bd} + j_{\nu+-}(E, -\omega) X_{-+}(E, \omega) j_{\mu-+}(E, \omega) \right\} e^{-\beta E}, \quad (14)$$

其中  $c_1$  表沿  $E$  平面实轴与上半平面大圆构成的闭合路线;  $c_2$  为相应的下半平面闭合路线.  $Bd$  指标表示括号中除了  $j$  算符中的中间态可以任意外, 只取其不可约对角部分.  $R(z)$  可按其对角部分展开:

$$R(z) = D(z) - D(z)[V - VD(z)V + \cdots]_{nd}D(z). \quad (15)$$

$X_{+-}(E, \omega)$  表示:

$$X_{+-}(E, \omega) = [\omega - i(\Gamma_{+-}(E, \omega) - \tilde{W}_{+-}(E, \omega))]^{-1} \left[ D_+ \left( E + \frac{1}{2} \omega \right) - \right. \\ \left. - D_- \left( E - \frac{1}{2} \omega \right) \right] \quad (16)$$

是以态  $\alpha, \alpha'$  为指标的矩阵元构成的矩阵, 其中  $\tilde{W}$  与  $\Gamma$  的矩阵元为

$$\tilde{W}_{+-\alpha\alpha'}(E, \omega) = \frac{\delta}{\delta A(\alpha')} \langle \alpha | i^{-1} \left[ D_+ \left( E + \frac{1}{2} \omega \right) - D_- \left( E - \frac{1}{2} \omega \right) \right] \left[ T_+ \left( E + \frac{1}{2} \omega \right) A T_- \left( E - \frac{1}{2} \omega \right) \right]_{id} | \alpha \rangle, \quad (17)$$

$$\Gamma_{+-\alpha\alpha'}(E, \omega) = \delta(\alpha - \alpha') \int d\alpha'' \tilde{W}_{+-\alpha''\alpha}(E, \omega), \quad (18)$$

(17)中  $A$  为表示(3)之对角算符.  $j_{+-}(E, \omega)$  表示:

$$j_{+-\alpha}(E, \omega) = \langle \alpha | \left[ \Omega_+^+ \left( E + \frac{1}{2} \omega \right) j \Omega_- \left( E - \frac{1}{2} \omega \right) \right]_{Bd} | \alpha \rangle. \quad (19)$$

$T$  与  $\Omega$  即通常的反应矩阵与波矩阵:

$$T(z) = V - VD(z)V + \dots, \quad (20)$$

$$\Omega(z) = 1 - D(z)V + D(z)VD(z)V - \dots, \quad (21)$$

$$\Omega^+(z) = 1 - VD(z) + VD(z)VD(z) - \dots. \quad (22)$$

展开式(14)的可约部分  $j_{-+}X_{+-}j_{+-}$  与  $j_{+-}X_{-+}j_{-+}$  对应通常玻耳兹曼方程的解, 在这里也必须求解输运方程才能得到实际的结果. 由(16)看到, 当  $\Gamma_{+-} \gtrsim \omega$  时, 输运系数不能对作用展开. 在(14)中已将这种由对角奇异引起的对作用展开的发散部分消除了. 只将每个不可约部分在其所处的位置上展开, 不会再有发散困难.

在稳态时,  $\omega = 0$ , (12)往往可以简化. 将  $\sigma_{\mu\nu}$  中  $j_\nu, j_\mu$  代以  $\dot{A}, \dot{B}$ , 并记为  $\sigma_{BA}$ . 假设  $\text{Sp}\{\rho, A\}B$  存在, 则  $\sigma_{BA}$  对应之(12)的第二项可以化成

$$\begin{aligned} & \frac{i}{\pi} \int_{-\infty}^{\infty} d\omega' \frac{P}{\omega'} \frac{2\pi}{\omega'} \sinh \frac{1}{2} \beta \omega' \int_{-\infty}^{\infty} dE \text{Sp} \left[ [H, A] \delta \left( H - E - \frac{1}{2} \omega' \right) \times \right. \\ & \quad \times [B, H] \delta \left( H - E + \frac{1}{2} \omega' \right) \left. \right] e^{-\beta E} = i \int_{-\infty}^{\infty} d\omega' \int_{-\infty}^{\infty} dE \text{Sp} \left[ A \delta \left( H - E - \right. \right. \\ & \quad \left. \left. - \frac{1}{2} \omega' \right) B \delta \left( H - E + \frac{1}{2} \omega' \right) \right] (e^{-\beta(E-\frac{1}{2}\omega')} - e^{-\beta(E+\frac{1}{2}\omega')}) = \\ & = i \text{Sp}\{\rho, A\}B = i \text{Sp}\rho[A, B], \end{aligned} \quad (23)$$

$$\text{故} \quad \sigma_{BA} = i \text{Sp}\rho[A, B] + f_{BA}. \quad (24)$$

如利用

$$\mathbf{j} = e(\dot{\mathbf{r}} + \dot{\mathbf{R}}), \quad (25)$$

将电导  $\sigma_{xx}$  分为四部分:

$$\sigma_{xx} = \sigma_{rx'x} + \sigma_{rxR_x} + \sigma_{R_x r'x} + \sigma_{R_x R_x}, \quad (26)$$

则由(12)与(24)得

$$\left. \begin{aligned} \sigma_{rx'x} &= f_{rx'x}, & \sigma_{rxR_x} &= f_{rxR_x} \\ \sigma_{R_x r'x} &= f_{R_x r'x}. \end{aligned} \right\} \quad (27)$$

对  $\sigma_{R_x R_x}$  由于  $\text{Sp}\{\rho, R_x\}R_x$  是不定式, 不能应用(24). 但是容易看到,  $f_{R_x R_x}(\omega')$  是  $\omega'$  的偶函数,  $\sigma_{R_x R_x}$  对应的(12)之第二项为零, 所以

$$\sigma_{R_x R_x} = f_{R_x R_x}. \quad (28)$$

对霍尔效应  $\sigma_{xy}$  可相似地讨论.

在文献[7]中, 利用各态历经假设证明了稳定态输运系数的一些性质, 这些性质对实际计算有指导性的意义. 但是各态历经是系统未被证明的性质, 我们感到有必要用上述结果重新加以讨论. 由于本文的理论直接与趋向平衡理论联系在一起, 而后者是建立在多体系统的熟知性质之上的, 因此将给出更合理的证明.

对横向输运过程, 可以证明:

$$\sigma_{r_x r_x} = \sigma_{r_x R_x} = \sigma_{R_x r_x} = 0. \quad (29)$$

现在只以  $\sigma_{r_x r_x}$  为例加以证明. 由(27)与(13)得

$$\sigma_{r_x r_x} = \pi\beta e^2 \int_{-\infty}^{\infty} dE \text{Sp}[\dot{r}_x \delta(H - E) \dot{r}_x \delta(H - E)] e^{-\beta E}. \quad (30)$$

将其中 Sp 部分取作下面的极限:

$$\lim_{\omega \rightarrow 0} i\omega \text{Sp} \left[ \dot{r}_x \delta \left( H - E - \frac{\omega}{2} \right) r_x \delta \left( H - E + \frac{\omega}{2} \right) \right],$$

对它作相似(14)之展开. 由文献[8]知道, 其不可约部分在  $\omega = 0$  没有极点, 所以  $\omega \rightarrow 0$  时为零, 于是:

$$\sigma_{r_x r_x} = \frac{e^2 \beta}{2\pi} \int_{-\infty}^{\infty} dE \lim_{\omega \rightarrow 0} i\omega \dot{r}_{x-+}(E, -\omega) X_{+-}(E, \omega) r_{x+-}(E, \omega) e^{-\beta E}. \quad (31)$$

$\dot{r}_{x-+}(E, -\omega)$  与  $r_{x+-}(E, \omega)$  在  $\omega = 0$  处没有极点;  $X_{+-}(E, \omega)$  则有一阶极点:

$$\lim_{\omega \rightarrow 0} \pi^{-1} i\omega X_{+-a'}(E, \omega) = \left[ \int \Delta_E(\alpha'') d\alpha'' \right]^{-1} \Delta_E(\alpha) \Delta_E(\alpha'), \quad (32)$$

其中

$$\Delta_E(\alpha) = (2\pi i)^{-1} [D_{+a}(E) - D_{-a}(E)], \quad (33)$$

利用文献[11]中的公式

$$\text{Sp}[r \delta(H - E)] = \sum_a r_{+-}(E) \Delta_E(\alpha) = \sum_a r_{-+}(E) \Delta_E(\alpha), \quad (34)$$

得

$$\sigma_{r_x r_x} = \frac{1}{2} e^2 \beta \int_{-\infty}^{\infty} dE \text{Sp}[\dot{r}_x \delta(H - E)] \text{Sp}[r_x \delta(H - E)] e^{-\beta E}. \quad (35)$$

它将(30)分解为  $\dot{r}_x$ ,  $r_x$  的微正则系综平均之积的积分. 因为

$$\text{Sp}[\dot{r}_x \delta(H - E)] = 0, \quad \text{Sp}[r_x \delta(H - E)] < \infty,$$

所以

$$\sigma_{r_x r_x} = 0. \quad (36)$$

对  $\sigma_{R_x r_x}$  与  $\sigma_{R_x R_x}$  在上述相似讨论中保留对  $R_x$  的微扰  $\dot{R}_x$ , 可同样地证明(29)中另二等式. 横向电导归结于中心运动:

$$\sigma_{xx} = I_{R_x R_x}. \quad (37)$$

对霍尔效应可作相似的讨论, 结果是

$$\sigma_{r_x r_y} = n e c / H, \quad (38)$$

$$\sigma_{r_x R_y} = \sigma_{R_x r_y} = 0, \quad (39)$$

$$\sigma_{xy} = \frac{n e c}{H} + \sigma_{R_x R_y}. \quad (40)$$

### 三、稳定态输运过程与边界条件

稳定输运过程,特别是横向电导(37)比较简单,我们由它开始研究引言中提出的第一个问题. 利用(14)将(37)展开,注意到  $f_{R_x R_x}$  对二个足标是对称的, (14) 中二个积分可以合并为一,并取实部:

$$\sigma_{xx} = \frac{e^2 \beta}{2\pi} \operatorname{Re} \int_c dE \{ \operatorname{Sp}[\dot{R}_x R(E + i\varepsilon) \dot{R}_x R(E - i\varepsilon)]_{Bd} + \dot{R}_{x+-}(E) X_{+-}(E) \dot{R}_{x+-}(E) \} e^{-\beta E}, \quad (41)$$

$c$  可以是  $c_1$ , 也可以是  $c_2$ .

(41)之不可约部分,可以用(15)作微扰展开计算. 它可以化成物理意义更清楚的形式. 在附录 I 中,我们将证明恒等式

$$\begin{aligned} & 2\operatorname{Sp}\{[V, R_x]R(E + i\varepsilon)[R_x, V]R(E - i\varepsilon)\}_{Bd} = \\ & = \operatorname{Sp}\{[R_x, V][R_x, R(E + i\varepsilon)]\}_{Bd} + \operatorname{Sp}\{[R_x, V][R_x, R(E - i\varepsilon)]\}_{Bd} - \\ & - \operatorname{Sp}\{(D_+(E) - D_-(E))[R_x, T(E + i\varepsilon)](D_+(E) - \\ & - D_-(E))[T(E - i\varepsilon), R_x]\}_{Bd}. \end{aligned} \quad (42)$$

假设(41)中  $c$  为  $c_1$ , 则将(42)代入时其右边第一项积分为零. 第二项积分后为纯虚数,在  $\operatorname{Re}$  符号下也为零. 结果只保留(42)第三项. 利用朗道表示(3)将它展开,得到(41)不可约部分为

$$\sigma_{xxBd} = \pi e^2 \beta \int_{-\infty}^{\infty} dE \sum_{\alpha\alpha'} \Delta_E(\alpha) W_{+-}(E; \alpha, \alpha') \Delta_E(\alpha') (R_x(\alpha) - R_x(\alpha'))^2 e^{-\beta E}. \quad (43)$$

在这里考虑到  $\Delta_E$  的存在使沿大圆积分为零, 因此将沿闭合回路  $c$  的积分改为沿实轴由  $-\infty$  至  $+\infty$  的积分.

(41)之可约部分对应一输运方程的解. 引入函数

$$f_{+-}(E) = \frac{e\beta}{2\pi} X_{+-}(E) \dot{R}_{x+-}(E). \quad (44)$$

由(16)知道,它满足输运方程

$$[\Gamma_{+-}(E) - \tilde{W}_{+-}(E)]f_{+-}(E) = -\Delta_E e\beta \dot{R}_{x+-}(E). \quad (45)$$

相应于通常对外场线性化了的玻耳兹曼方程. 为了得到有物理意义的解,对(45)及其边界条件问题须要仔细讨论. 在经典玻耳兹曼方程中我们知道,它至少有二个不同的解,一个是平衡态的解,一个是输运过程的解,到底取哪个解是由边界条件决定的. 输运过程的边界条件要求系统的电荷在空间分布是均匀的. 在量子理论中,由于坐标与动量不能同时测定,选择用动量描述粒子时就不能再用坐标. 因此选用动量表示自动地满足输运过程边界条件的要求,这问题往往被人们忽略. 但在朗道表示中,电子可以在空间局域地存在,不能自动满足电荷空间分布均匀性的要求. 这时必须明显地考虑边界条件问题. 为使结果显得更加清楚一些,下面先证明(45)有一平衡态的解.

在附录 II 中我们证明:

$$\dot{R}_{x+-}(E) = - \sum_{\alpha'} W_{+-}(E; \alpha\alpha') i(D_{+\alpha'}(E) - D_{-\alpha'}(E))(R_x(\alpha) - R_x(\alpha')), \quad (46)$$

所以(45)可以改写为

$$[\Gamma_{+-}(E) - \tilde{W}_{+-}(E)]f_{+-}(E) = (\Gamma_{+-}(E) - \tilde{W}_{+-}(E))e\beta \Delta_E R_x, \quad (47)$$

它显然有一解是

$$f_{+-}(E) = e\beta\Delta_E R_x. \quad (48)$$

利用  $\dot{R}_{x-+}$  的与(46)相似的关系式,得

$$\dot{R}_{x-+}(E)f_{+-}(E) = -2\pi e\beta \sum_{\alpha\alpha'} \Delta_E(\alpha)W_{+-}(\alpha,\alpha')\Delta_E(\alpha')(R_x(\alpha) - R_x(\alpha'))R_x(\alpha). \quad (49)$$

$\sigma_{xx}$  即(41)对指标  $+-$  是可以交换的,交换(49)中  $+-$  指标,利用关系  $W_{+-}(\alpha,\alpha') = W_{-+}(\alpha'\alpha)$ , 得(41)之可约部分为

$$\begin{aligned} \sigma_{xxd} &= -\pi e^2\beta \int_{-\infty}^{\infty} dE \sum_{\alpha\alpha'} \Delta_E(\alpha)W_{+-}(\alpha\alpha')\Delta_E(\alpha')(R_x(\alpha) - R_x(\alpha'))^2 e^{-\beta E} = \\ &= -\sigma_{xxBd}. \end{aligned} \quad (50)$$

结果刚好与  $\sigma_{xxBd}$  抵消,由(48)之  $f_{+-}(E)$  给出的电导率为 0:

$$\sigma_{xx} = 0. \quad (51)$$

可见(48)是平衡态的解. 从(48)给出的电荷在空间分布更可证明这一点. 电荷算符  $Q$  在朗道表示中是对角化的,它对外场的响应只有可约部分:

$$\Delta Q = \int_{-\infty}^{\infty} dE Q f_{+-}(E) e^{-\beta E} = e\beta \text{Sp} [QR_x e^{-\beta H}]. \quad (52)$$

这刚好是平衡态密度矩阵对外场展开至一次项给出的电荷分布. 系统粒子的热运动趋向使这种空间分布变成均匀,它产生“扩散电流”. 由电场激发的“直接电流”将阻止这种趋向. 在平衡态时,直接电流与扩散电流刚好抵消. 容易看到,  $\sigma_{xxBd}$  是直接电流,其方向与电场相同;  $\sigma_{xxd}$  是扩散电流,其方向与电场相反. 这些正是经典平衡态中熟悉的图象.

系统的输运过程解要求没有空间电荷堆积,其分布是均匀的. 另一方面,线性输运系数理论基本思想表明输运系数只与平衡态的涨落有关,输运系数中出现的矩阵元将具有系统平衡态的所有对称性质. 利用空间反演不变性可以求得(45)的输运过程解. 由(46)可见,空间反演不变,使得固定  $\alpha$ , 有一使  $R_x(\alpha) - R_x(\alpha')$  为正的  $\alpha'$  态,则必定有一使  $R_x(\alpha) - R_x(\alpha')$  为负的而绝对值不变的  $\alpha'$  态,对这两个态  $W_{+-}(\alpha,\alpha')$  ( $D_+ - D_-$ ) 具有相同的值,于是

$$\dot{R}_{x+-}(E) = 0. \quad (53)$$

(45)变成

$$[\Gamma_{+-}(E) - \tilde{W}_{+-}(E)]f_{+-}(E) = 0, \quad (54)$$

其一显然解为

$$f_{+-}(E) = 0,$$

由它给出的电荷空间分布是均匀的:

$$\Delta Q = 0, \quad (55)$$

满足所需的边界条件. 与(53)相似,  $\dot{R}_{x-+}(E) = 0$ , 所以  $\sigma_{xx}$  可约部分  $\sigma_{xxd}$  为零,而

$$\sigma_{xx} = \pi e^2\beta \int_{-\infty}^{\infty} dE \sum_{\alpha\alpha'} \Delta_E(\alpha)W_{+-}(E;\alpha\alpha')\Delta_E(\alpha')(R_x(\alpha) - R_x(\alpha'))^2 e^{-\beta E}. \quad (56)$$

引入归一化的态密度:

$$\rho_E(\alpha') = \Delta_E(\alpha') e^{-\beta E} / \int dE \sum_{\alpha'} \Delta_E(\alpha') e^{-\beta E}, \quad (57)$$

得到  $\sigma_{xx}$  的最后表示式:

$$\sigma_{xx} = e^2 \beta \int_{-\infty}^{\infty} dE \sum_{\alpha\alpha'} \frac{1}{2} (R_x(\alpha) - R_x(\alpha'))^2 \tilde{W}_E(\alpha, \alpha') \rho_E(\alpha'), \quad (58)$$

这是按 Titeica 图象展开的完全微扰表示式,它表明强磁场下电子是以中心跳跃运动参与横向电导的. 任意级的微扰只要将跃迁几率与态密度改成任意级的微扰展开就行.

这样,我们消除了趋向平衡引起的发散,证明对横向电导不需要解玻耳兹曼型输运方程,不会出现部分高次项之和给出低次项现象. 与这里讨论的情况不同,在杂质电导中没有空间反演不变性,  $\sigma_{xx}$  的可约部分不是零,它给出的“堵塞”效应<sup>[10]</sup>是不能被忽略的.

对霍耳效应,要讨论  $\sigma_{xy}$  的反对称部分  $\sigma_{xy}^a$ . 由(40),(12),(13)知,

$$\begin{aligned} \sigma_{xy}^a = & \frac{ne^2 c}{H} + 2ie^2 \int_{-\infty}^{\infty} d\omega \frac{\rho}{\omega^2} \sinh \frac{1}{2} \beta \omega \int_{-\infty}^{\infty} dE \times \\ & \times \text{Sp} \left[ \dot{R}_x \delta \left( H - E - \frac{1}{2} \omega \right) \dot{R}_y \delta \left( H - E + \frac{1}{2} \omega \right) \right] e^{-\beta E}. \end{aligned} \quad (58)$$

利用(14)展开后,  $\sigma_{xy}^a$  各项的意义不再象  $\sigma_{xx}$  那样清楚. 不过由  $\sigma_{xx}$  讨论中用到的原理,(58)可以进一步简化. 交换(58)中  $\dot{R}_x$  与  $\dot{R}_y$  的位置,对其可约部分,代替(44)我们要讨论

$$f_{+-}(E, \omega) = \frac{e\beta}{2\pi} X_{+-}(E, \omega) \dot{R}_{x+-}(E, \omega). \quad (59)$$

代替(46)的是

$$\begin{aligned} \dot{R}_{x+-}(E, \omega) = & - \sum_{\alpha'} W_{+-}(E, \omega; \alpha, \alpha') i \left( D_{+\alpha'} \left( E + \frac{1}{2} \omega \right) - \right. \\ & \left. - D_{-\alpha'} \left( E - \frac{1}{2} \omega \right) \right) (R_x(\alpha) - R_x(\alpha')). \end{aligned} \quad (60)$$

关于对  $\dot{R}_{x+-}(E)$  反演不变性的讨论对  $\dot{R}_{x+-}(E, \omega)$  同样成立,于是  $\dot{R}_{x+-}(E, \omega) = 0$ , 有

$$f_{+-}(E, \omega) = 0. \quad (61)$$

在(3)表示中  $\dot{R}_{y-+}(E, -\omega)$  有限,所以(58)的可约部分是零:

$$\begin{aligned} \sigma_{xy}^a = & \frac{ne^2 c}{H} + \frac{ie^2}{2\pi^2} \int_{-\infty}^{\infty} d\omega \frac{\rho}{\omega} \sinh \frac{1}{2} \beta \omega \left\{ \int_{c_1} dE \text{Sp} \left[ \dot{R}_x R \left( E + \frac{1}{2} \omega + i\varepsilon \right) \times \right. \right. \\ & \times \dot{R}_y R \left( E - \frac{1}{2} \omega - i\varepsilon \right) \Big]_{bd} e^{-\beta E} + \int_{c_2} dE \text{Sp} \left[ \dot{R}_x R \left( E + \frac{1}{2} \omega - i\varepsilon \right) \times \right. \\ & \left. \left. \times \dot{R}_y R \left( E - \frac{1}{2} \omega + i\varepsilon \right) \right]_{bd} e^{-\beta E} \right\}. \end{aligned} \quad (62)$$

利用(15)展开后,只有  $R \left( E + \frac{1}{2} \omega \pm i\varepsilon \right)$  与  $R \left( E - \frac{1}{2} \omega \mp i\varepsilon \right)$  中总共偶数个  $D_{\pm}$  取相应  $\Delta$  的项才对  $\sigma_{xy}^a$  有贡献, (62)在一般情况下不能再简化. 对它所表达的意义可作如下说明:  $\frac{ne^2 c}{H}$  为自由系统的霍耳效应;由于朗道表示中在电场下任一态的  $\dot{X} = cE/H$ , 所以散射作用不会引起霍耳效应的改变, (62)的第二项是由非散射的微扰引起状态变化给出的贡献. 与  $\sigma_{xx}$  同样, (62)中消除了  $\sigma_{xy}$  的趋向平衡引起的发散.

#### 四、非稳定输运过程及与经典的比较

引言中提出的第二个问题可以与外电场频率  $\omega \approx 0$  时的情况一起进行讨论. 这时将



$\mathbf{j}$  分成  $e\mathbf{r}$  与  $e\mathbf{R}$  二部分没有方便之处, 因为不只中心运动, 而且相对运动也会参与输运过程. 注意到通常的微扰作用, 例如电声子散射与杂质散射都具有关系:

$$[V, x] = 0, \quad (63)$$

于是

$$\begin{aligned} \dot{x} &= i[H, x] = i[H_0, x] = i[H_0, r_x] \equiv \dot{r}_x^0, \\ \dot{y} &= i[H_0, r_y] \equiv \dot{r}_y^0. \end{aligned} \quad (64)$$

这可以使输运系数化成最简单的形式, 尤其对实际的低级微扰计算有利.  $\dot{r}_x^0$  与  $\dot{r}_y^0$  在 (3) 之表示中的矩阵元为

$$\dot{r}_{xnm}^0 = i(\hbar\omega_H/2m)^{1/2} [-(n+1)^{1/2} \delta_{m,n+1} + n^{1/2} \delta_{m,n-1}], \quad (65)$$

$$\dot{r}_{ynm}^0 = -\frac{mc}{eH} i[H_0, \dot{r}_x^0]_{nm} = (\hbar\omega_H/2m)^{1/2} [(n+1)^{1/2} \delta_{m,n+1} + n^{1/2} \delta_{m,n-1}]. \quad (66)$$

在下面, 我们将  $\dot{r}^0$  看作所有电子的  $\dot{r}^0$  之和, 只在单电子近似时将它看成单电子算符.

首先须要证明用  $\dot{r}^0$  展开之输运系数的可约部分是零, 因此在实际计算中可不必考虑. 与上节讨论  $\dot{R}_{+-}(E)$  同样的理由, 要求  $\dot{r}_{+-}^0(E, \omega)$  是空间反演不变的. 在空间反演变换下, 磁场与  $\omega$  不变, 朗道表示中的态  $n, k_y, k_x$  变成  $n, -k_y, -k_x$ . 但是  $B$  不可约对角部分  $\dot{r}_{+-}^0(E, \omega)$  与  $\alpha$  的  $k_y, k_x$  之正负号无关, 并且中间态包含对  $k_y, k_x$  的求和. 所以在空间反演下,  $\dot{r}_{+-}^0(E, \omega)$  只改变符号, 于是

$$\dot{r}_{+-}^0(E, \omega) = 0, \quad (67)$$

输运系数的可约部分等于零. (14) 简化为

$$\begin{aligned} f_{\mu\nu}(\omega) &= \frac{e^2}{2\pi\omega} \sinh \frac{1}{2} \beta\omega \left\{ \int_{c_1} dE \operatorname{Sp} \left[ \dot{r}_\nu^0 R_+ \left( E + \frac{1}{2} \omega \right) \dot{r}_\mu^0 R_- \left( E - \frac{1}{2} \omega \right) \right]_{Bd} e^{-\beta E} + \right. \\ &\quad \left. + \int_{c_2} dE \operatorname{Sp} \left[ \dot{r}_\nu^0 R_- \left( E + \frac{1}{2} \omega \right) \dot{r}_\mu^0 R_+ \left( E - \frac{1}{2} \omega \right) \right]_{Bd} e^{-\beta E} \right\}. \end{aligned} \quad (68)$$

利用关系

$$R(z) = D(z) - D(z)T(z)D(z),$$

将 (68) 中  $\operatorname{Sp}$  部分展开,  $c_1$  积分部分为

$$\begin{aligned} &\operatorname{Sp} \left[ \dot{r}_\nu^0 D_+ \left( E + \frac{1}{2} \omega \right) \dot{r}_\mu^0 D_- \left( E - \frac{1}{2} \omega \right) \right]_{Bd} - \\ &- \operatorname{Sp} \left[ \dot{r}_\nu^0 D_+ \left( E + \frac{1}{2} \omega \right) \dot{r}_\mu^0 D_- \left( E - \frac{1}{2} \omega \right) T_- \left( E - \frac{1}{2} \omega \right) D_- \left( E - \frac{1}{2} \omega \right) \right]_{Bd} - \\ &- \operatorname{Sp} \left[ \dot{r}_\nu^0 D_+ \left( E + \frac{1}{2} \omega \right) T_+ \left( E + \frac{1}{2} \omega \right) D_+ \left( E + \frac{1}{2} \omega \right) \dot{r}_\mu^0 D_- \left( E - \frac{1}{2} \omega \right) \right]_{Bd} + \\ &+ \operatorname{Sp} \left[ \dot{r}_\nu^0 D_+ \left( E + \frac{1}{2} \omega \right) T_+ \left( E + \frac{1}{2} \omega \right) D_+ \left( E + \frac{1}{2} \omega \right) \dot{r}_\mu^0 \times \right. \\ &\quad \left. \times D_- \left( E - \frac{1}{2} \omega \right) T_- \left( E - \frac{1}{2} \omega \right) D_- \left( E - \frac{1}{2} \omega \right) \right]_{Bd}. \end{aligned} \quad (69)$$

其在  $E$  平面上的解析性质如图 1 所示, 二个黑点表示  $\dot{r}_0$  二边的  $D$  之极点的相对位置. 按普通微扰论的观点,  $V_{\alpha\alpha'}$  能联系能量差较大的态  $\alpha\alpha'$ , 由它的微扰给出割线上的跳跃是平滑的. 若割线上谱密度不趋向零的线段长度  $E_0$  (经典情况  $E_0 \sim kT$ ), 比相对极点的距离  $\omega_H \pm \omega$  大得多, 则在 (68) 的积分中可以只考虑相对极点的贡献, 忽略割线的贡献.

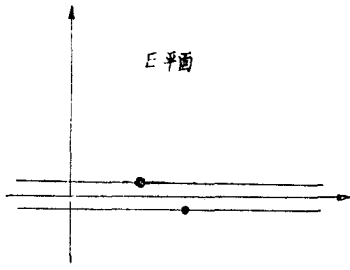


图 1

Adams 与 Holstein<sup>[6]</sup> 将问题按磁场强度分成三个区域: 第一, 经典区域, 这时  $\hbar\omega_H \ll kT$ ,  $kT \sim E_0$ ; 第二, 振荡区域  $kT \ll \hbar\omega_H$ ,  $E_0 > \hbar\omega_H$ ; 第三是量子极限区域,  $\hbar\omega_H > E_0$ , 若  $\hbar\omega_H \gg E_0$  称为极端量子极限区域. 由上面讨论知道, 在经典区域与振荡区域里,  $E_0 \gg \hbar\omega_H$ , 因此只要  $\omega_H\tau > 1$ , 取相对极点给出的贡献就是足够好的近似.  $\omega_H\tau > 1$  的条件使朗道表示可以作为被微扰态, 而除了相对极点外, 其他项的贡献是  $(E_0\tau)^{-1}$  级的. 在

量子极限与接近量子极限区域, 必需要求  $\omega_H\tau \gg 1$  与  $E_0\tau \gg 1$  同时成立, 这时 (69) 的最低次项给出正确的贡献. (69) 的后三项只在  $\omega$  远离  $\omega_H$  或  $\omega = 0$  时是重要的, 在附录 III 中将证明  $\omega = 0$  时它们的最低次项与第一项一起给出与 (58) 最低次项相同的结果. 此外我们感到兴趣的是共振区域, 在共振区域只需要计算 (69) 的第一项, 它的贡献是作用常数的负二次幂, 其他项起码是零次幂.

下面采用单电子近似. 为了使以后容易完成对  $E$  与  $\omega$  的积分, 将 (68) 写作

$$f_{\mu\nu}(\omega) = \frac{\pi}{\omega} \int_{-\infty}^{\infty} dE \left\langle \left[ j_{\nu} \delta \left( H - E - \frac{1}{2} \omega \right), j_{\mu} \delta \left( H - E + \frac{1}{2} \omega \right) \right] \right\rangle. \quad (70)$$

用统计微扰论方法<sup>[12]</sup>作如 (69) 的展开, 容易得到共振区域的横向电导之  $f_{xx}^0$  为

$$f_{xx}^0(\omega) = \frac{e^2 \omega_H}{2m \omega} \sum_{\alpha} \left[ \frac{(n_{\alpha} + 1) \Gamma_{\alpha, \alpha+1}(\omega)}{(\omega_H - \omega)^2 + \Gamma_{\alpha, \alpha+1}^2(\omega)} + \frac{n_{\alpha} \Gamma_{\alpha, \alpha-1}(\omega)}{(\omega_H + \omega)^2 + \Gamma_{\alpha, \alpha-1}^2(\omega)} - \frac{(n_{\alpha} + 1) \Gamma_{\alpha, \alpha+1}(-\omega)}{(\omega_H + \omega)^2 + \Gamma_{\alpha, \alpha+1}^2(-\omega)} - \frac{n_{\alpha} \Gamma_{\alpha, \alpha-1}(-\omega)}{(\omega_H - \omega)^2 + \Gamma_{\alpha, \alpha-1}^2(-\omega)} \right] f(\varepsilon_{\alpha}), \quad (71)$$

其中  $\alpha \pm 1$  表示与  $\alpha$  态的电子能级差一个朗道能级的状态,  $\Gamma_{\alpha, \alpha'}$  为

$$\Gamma_{\alpha, \alpha'} = \pi \langle \alpha | V \delta(H_0 - \varepsilon_{\alpha}) (1 - f(H_0)) V | \alpha' \rangle + \pi \langle \alpha' | V \delta(H_0 - \varepsilon_{\alpha} + \omega) (1 - f(H_0)) V | \alpha \rangle$$

或者

$$= \pi \langle \alpha | V \delta(H_0 - \varepsilon_{\alpha'} - \omega) (1 - f(H_0)) V | \alpha \rangle + \pi \langle \alpha' | V \delta(H_0 - \varepsilon_{\alpha'}) (1 - f(H_0)) V | \alpha' \rangle. \quad (72)$$

由于 (70) 中的积分可以在上半平面或下半平面闭合,  $\Gamma_{\alpha\alpha'}(\omega)$  与  $\Gamma_{\alpha'a}(-\omega)$  可以互换. 在 (71) 中作这种代换, 并将  $\alpha$  指标作适当变化后, 得

$$f_{xx}^0(\omega) = \frac{e^2 \omega_H}{2m \omega} \sum_{\alpha} \left[ \frac{((n_{\alpha} + 1)f(\varepsilon_{\alpha}) - n_{\alpha+1}f(\varepsilon_{\alpha+1})) \Gamma_{\alpha, \alpha+1}(\omega)}{(\omega_H - \omega)^2 + \Gamma_{\alpha, \alpha+1}^2(\omega)} + \frac{(n_{\alpha}f(\varepsilon_{\alpha}) - (n_{\alpha-1} + 1)f(\varepsilon_{\alpha-1})) \Gamma_{\alpha, \alpha-1}(\omega)}{(\omega_H + \omega)^2 + \Gamma_{\alpha, \alpha-1}^2(\omega)} \right]. \quad (73)$$

横向电导的整个表达式为

$$\begin{aligned} \sigma_{xx}^0(\omega) &= \frac{i}{\pi} \int_{-\infty}^{\infty} \frac{1}{\omega' - \omega + i\varepsilon} f_{xx}^0(\omega') d\omega' = \\ &= \frac{e^2}{2m} \sum_{\alpha} \left[ \frac{\Gamma_{\alpha, \alpha+1}(\omega)}{\omega_H - \omega + i\Gamma_{\alpha, \alpha+1}(\omega)} ((n_{\alpha} + 1)f(\varepsilon_{\alpha}) - n_{\alpha+1}f(\varepsilon_{\alpha+1})) + \right. \end{aligned}$$

$$+ \frac{-i\Gamma_{a,a-1}(\omega)}{-\omega_H - \omega + i\Gamma_{a,a-1}(\omega)} (n_a f(\varepsilon_a) - (n_{a-1} + 1)f(\varepsilon_{a-1})) \Big]. \quad (74)$$

若认为  $\Gamma_{a,a\pm 1}$  与  $\alpha$  及  $\alpha \pm 1$  无关, 设  $\tau = 1/\Gamma$ , 则

$$\sigma_{xx}^0(\omega) = \frac{ne^2\tau}{m} \frac{1}{2} \left\{ \frac{1}{1 + i(\omega - \omega_H)\tau} + \frac{1}{1 + i(\omega + \omega_H)\tau} \right\}. \quad (75)$$

这里我们将  $f(\varepsilon_a)$  归一化为粒子密度:

$$\sum_a f(\varepsilon_a) = n.$$

对于  $f_{xy}^0(\omega)$  与  $\sigma_{xy}^0(\omega)$  可同样地得到如下结果:

$$f_{xy}^0(\omega) = \frac{e^2}{2m} \frac{\omega_H}{\omega} \sum_a \left[ \frac{(n_a + 1)(\omega_H - \omega)}{(\omega_H - \omega)^2 + \Gamma_{a,a+1}^2(\omega)} + \frac{n_a(\omega_H + \omega)}{(\omega_H + \omega)^2 + \Gamma_{a,a-1}^2(\omega)} - \frac{(n_a + 1)(\omega_H + \omega)}{(\omega_H + \omega)^2 + \Gamma_{a,a+1}^2(-\omega)} - \frac{n_a(\omega_H - \omega)}{(\omega_H - \omega)^2 + \Gamma_{a,a-1}^2(-\omega)} \right] f(\varepsilon_a), \quad (76)$$

$$\sigma_{xy}^0(\omega) = \frac{e^2}{2m} \sum_a \left[ \frac{1}{\omega_H - \omega + i\Gamma_{a,a+1}(\omega)} (n_{a+1}f(\varepsilon_{a+1}) - (n_a + 1)f(\varepsilon_a)) + \frac{1}{-\omega_H - \omega + i\Gamma_{a,a-1}(\omega)} (n_a f(\varepsilon_a) - (n_{a-1} + 1)f(\varepsilon_{a-1})) \right]. \quad (77)$$

当  $\Gamma_{a,a\pm 1}$  和  $\alpha$  及  $\alpha \pm 1$  无关时,

$$\sigma_{xy}^0(\omega) = -\frac{ne^2\tau}{m} \frac{1}{2i} \left\{ \frac{1}{1 + i(\omega - \omega_H)\tau} - \frac{1}{1 + i(\omega + \omega_H)\tau} \right\}. \quad (78)$$

对于纵向电导, 结果将与 Argyres 的一致, 没有特别问题需要讨论, 所以从略.

(75)与(78)在形式上完全与经典结果一致. 按上面讨论, 它们加以(69)后三项的贡献, 在经典强场下只要  $\omega_H\tau > 1$ , 将给出足够好的近似. 因此本文结果将与经典理论有二方面的不同: (75)与(78)中的  $\tau$  是  $\alpha$  与  $\alpha \pm 1$  态线宽的平均值, 而不是玻耳兹曼方程给出的没有磁场时的输运过程的弛豫时间; 在任意频率下, (75)与(78)还有附加项, 这些项在  $\omega = 0$  时不能被忽略, 它们也不能被看作是输运过程弛豫时间变为线宽所作的某种近似的结果所多出来的项. 我们已证明, 在强磁场中, 对横向电导与霍尔效应不存在通常玻耳兹曼方程的解的问题, 并且对作用展到二次在  $E_0\tau \gg 1$  时是适用的. 因此, 经典与量子理论的差别不能被看作是近似程度的不同, 而是在于一开始就用了朗道表示, 它使得量子理论不能直接过渡到经典的. 本文结果与量子理论中的共振吸收图象一致.

在振荡区域, 为了能观察到振荡效应, 必须要求  $\omega_H\tau \gg 1$ . 在量子极限情况,  $\hbar\omega_H > E_0$ , 所以也必须  $\omega_H\tau \gg 1$ . 在这二种情况下,  $\omega$  不在共振区域时, (75), (78)的贡献只有按  $1/\omega_H\tau$  展开的最低次项贡献是重要的.

在工作过程中, 经霍裕平与于淑同志讨论与指正, 谨在此表示深切的谢意.

## 附录 I. 证明 (42) 式

试计算下面的和:

$$\text{Sp}\{(D_+(E) - D_-(E))[R_x, T_+(E)](D_+(E) - D_-(E)) \times [T_-(E), R_x]\} + 2\text{Sp}\{[R_x, V]R_+(E)[V, R_x]R_-(E)\}. \quad (\text{A.1})$$

由第一項展开,得到下列項:

$$\begin{aligned} & \text{Sp}[D_+R_xT_+D_+T_-R_x] + \text{Sp}[D_+T_+R_xD_+R_xT_-] - \\ & - \text{Sp}[D_+R_xT_+D_+R_xT_-] - \text{Sp}[D_+T_+R_xD_+T_-R_x] \end{aligned} \quad (\text{A.2})$$

$$+ \text{同样的将 } D_+ \text{ 改作 } D_- \text{ 的四項} \quad (\text{A.3})$$

$$+ \text{Sp}[D_+R_xT_+D_-R_xT_-] + \text{Sp}[D_+T_+R_xD_-T_-R_x] \quad (\text{A.4})$$

$$- \text{Sp}[D_+R_xT_+D_-T_-R_x] - \text{Sp}[D_+T_+R_xD_-R_xT_-] \quad (\text{A.5})$$

$$+ \text{Sp}[D_-R_xT_+D_+R_xT_-] + \text{Sp}[D_-T_+R_xD_+T_-R_x] \quad (\text{A.6})$$

$$- \text{Sp}[D_-R_xT_+D_+T_-R_x] - \text{Sp}[D_-T_+R_xD_+R_xT_-] \quad (\text{A.7})$$

由后一項展开,得到

$$+ 2\text{Sp}[R_xVR_+VR_xR_-] + 2\text{Sp}[VR_xR_+R_xVR_-] \quad (\text{A.8})$$

$$- 2\text{Sp}[D_+R_xT_+D_-R_xT_-] - 2\text{Sp}[D_-R_xT_+D_+R_xT_-], \quad (\text{A.9})$$

其中(A.4),(A.6)与(A.9)相互抵消, (A.2)中四項可合并写为

$$\text{Sp}[[R_x, D_+T_+D_+][T_-, R_x]] = -\text{Sp}[[R_x, R_+][T_-, R_x]], \quad (\text{A.10})$$

(A.3)四項合并写为

$$\begin{aligned} & \text{Sp}[[R_x, D_-T_+D_-][T_-, R_x]] = \text{Sp}[[R_x, T_+] \times \\ & \times [D_-T_-D_-, R_x]] = -\text{Sp}[[R_x, T_+][R_-, R_x]], \end{aligned} \quad (\text{A.11})$$

(A.5),(A.7),(A.8)合并为

$$\text{Sp}[[R_x, VR_+V][R_x, R_-]] + \text{Sp}[[R_x, VR_-V][R_x, R_+]], \quad (\text{A.12})$$

总的贡献是(A.10), (A.11), (A.12)之和:

$$\begin{aligned} (\text{A.1}) &= \text{Sp}[[R_x, R_+][R_x, T_-]] + \text{Sp}[[R_x, T_+][R_x, R_-]] + \\ & + \text{Sp}[[R_x, R_+][R_x, V - T_-]] + \text{Sp}[[R_x, V - T_+][R_x, R_-]] \\ &= \text{Sp}[[R_x, R_+][R_x, V]] + \text{Sp}[[R_x, R_-][R_x, V]], \end{aligned} \quad (\text{A.13})$$

这是一恆等式,在二边都取 $B$ 不可約对角部分,即得到(42)式.

## 附录 II. 証明 (46) 式

$$\begin{aligned} \hat{R}_{x+-}(E) &= i\{(1 - VD_+ + VD_+VD_+ - \dots)[V, R_x](1 - \\ & - D_-V + D_-VD_-V - \dots)\}_{Bd} = i\{T_+R_x(1 - D_-T_-)\}_{id} - \\ & - i\{(1 - T_+D_+)R_xT_-\}_{id} = -i\{T_+R_xD_-T_-\}_{id} + \\ & + i\{T_+R_xD_+T_-\}_{id} + i\{T_+R_x\}_{id} - i\{R_xT_-\}_{id} = \\ & = \{T_+i(D_+ - D_-)R_xT_-\}_{id} + i\{R_x(T_+ - T_-)\}_{id}. \end{aligned} \quad (\text{A.14})$$

van Hove<sup>[8]</sup> 証明:

$$\{T_+ - T_-\}_{id} = -\sum_{\alpha'} W_{+-\alpha\alpha'}(D_+(\alpha') - D_-(\alpha')). \quad (\text{A.15})$$

将(A.15)代入(A.14),得到

$$\begin{aligned} \hat{R}_{x+-}(E; \alpha) &= \sum_{\alpha'} W_{+-\alpha\alpha'}(E; \alpha\alpha')i(D_+(\alpha') - D_-(\alpha'))R_x(\alpha') - \\ & - \sum_{\alpha'} W_{+-\alpha\alpha'}(E; \alpha\alpha')i(D_+(\alpha') - D_-(\alpha'))R_x(\alpha) = \end{aligned}$$

$$= - \sum_{\alpha'} W_{+-}(E; \alpha\alpha') i(D_+(\alpha') - D_-(\alpha')) (R_x(\alpha) - R_x(\alpha')). \quad (\text{A.16})$$

这就是所要证明的结果.

### 附录 III. 证明(69)最低次项对 $\sigma_{xx}$ 在 $\omega=0$ 时的贡献与(56)式相同

在  $V^2$  级近似下(69)成为

$$\begin{aligned} & \text{Sp} [\hat{r}_x^0 D_+(E) \hat{r}_x^0 D_-(E)] + \text{Sp} \left[ \hat{r}_x^0 \frac{1}{H_0 - E - i\epsilon} \hat{r}_x^0 \frac{1}{H_0 - E + i\epsilon} \times \right. \\ & \left. \times V \frac{1}{H_0 - E + i\epsilon} V \frac{1}{H_0 - E + i\epsilon} \right]_{Bd} + \\ & + \text{Sp} \left[ \hat{r}_x^0 \frac{1}{H_0 - E - i\epsilon} V \frac{1}{H_0 - E - i\epsilon} V \frac{1}{H_0 - E - i\epsilon} \hat{r}_x^0 \frac{1}{H_0 - E + i\epsilon} \right]_{Bd} + \\ & + \text{Sp} \left[ \hat{r}_x^0 \frac{1}{H_0 - E - i\epsilon} V \frac{1}{H_0 - E - i\epsilon} \hat{r}_x^0 \frac{1}{H_0 - E + i\epsilon} V \frac{1}{H_0 - E + i\epsilon} \right]_{Bd}, \quad (\text{A.17}) \end{aligned}$$

第一项的  $D$  展开至最低次, 等价于不要第一项同时取消第二项与第三项的  $Bd$  符号. 第四项中算符是  $\hat{r}_x^0 V \hat{r}_x^0 V$  形式排列的, 因此取  $Bd$  符号的运算不重要. 完成  $\sigma_{xx}$  中对(A.17)的  $E$  的积分时, 由于取实部的要求, 必需有二个  $\frac{1}{H_0 - E \pm i\epsilon}$  要取虚部. 显然它只能是如下的取法:

$$\begin{aligned} & \pi^2 \int dE \left\{ \text{Sp} \left[ \hat{r}_x^0 \delta(H_0 - E) \hat{r}_x^0 \frac{1}{H_0 - E} V \delta(H_0 - E) \frac{1}{H_0 - E} \right] + \right. \\ & + \text{Sp} \left[ \hat{r}_x^0 \frac{1}{H_0 - E} V \delta(H_0 - E) V \frac{1}{H_0 - E} \hat{r}_x^0 \delta(H_0 - E) \right] + \\ & + \text{Sp} \left[ \hat{r}_x^0 \delta(H_0 - E) V \frac{1}{H_0 - E} \hat{r}_x^0 \delta(H_0 - E) V \frac{1}{H_0 - E} \right] + \\ & \left. + \text{Sp} \left[ \hat{r}_x^0 \frac{1}{H_0 - E} V \delta(H_0 - E) \hat{r}_x^0 \frac{1}{H_0 - E} V \delta(H_0 - E) \right] \right\}. \quad (\text{A.18}) \end{aligned}$$

在这里只要注意, 在  $\hat{r}_x^0$  二边的能量分母不能同时守恒, 所以取一边的虚部就不能再取另一边的虚部. 用  $\hat{r}_x^0 = i[H_0, r_x]$  中的  $H_0$  可以消去其旁边的  $1/H_0 - E$ , (A.18)变成:

$$\begin{aligned} & \pi^2 \int dE \{ \text{Sp} [r_x \delta(H_0 - E) r_x V \delta(H_0 - E) V] + \text{Sp} [r_x V \delta(H_0 - E) V r_x \delta(H_0 - E)] - \\ & - \text{Sp} [r_x \delta(H_0 - E) V r_x \delta(H_0 - E) V] - \text{Sp} [r_x V \delta(H_0 - E) r_x V \delta(H_0 - E)] \} = \\ & = \pi^2 \int dE \text{Sp} [[V, r_x] \delta(H_0 - E) [r_x, V] \delta(H_0 - E)]. \quad (\text{A.19}) \end{aligned}$$

利用交换关系  $[x, V] = 0$ , 就得

$$(\text{A.19}) = \pi^2 \int dE \text{Sp} [[V, R_x] \delta(H_0 - E) [R_x, V] \delta(H_0 - E)]. \quad (\text{A.20})$$

它给出的结果与(56)最低次项相同.

### 附录 IV. 态密度积分发散的消去及 $\rho_T/\rho_L$ 值的修正

本文中对电子态的求和  $\sum_{\alpha}$  事实上表示下述积分与求和:

$$\sum_{\alpha} = \sum_{n,s} (2\pi)^{-2} L_y L_x \int dk_y dk_x, \quad (\text{A.21})$$

$s$  表自旋, (A.21)可写为

$$\sum_{\alpha} = \frac{L_y L_x}{(2\pi)^2} \frac{(2m)^{3/2}}{2} \sum_{n,s} \int dk_y \int \left[ \epsilon - \left( n + \frac{1}{2} \right) \hbar \omega_H \right]^{-\frac{1}{2}} d\epsilon. \quad (\text{A.22})$$

平方根在  $\epsilon = \left( n + \frac{1}{2} \right) \hbar \omega_H$  时是发散的, 因此在下列类型求和:

$$\sum_{\alpha\alpha'} \int_{-\infty}^{\infty} dE D_+(E, \alpha) D_-(E, \alpha') \quad (\text{A.23})$$

中的  $D$  函数不能用  $\delta$  函数来代替, 否则导致发散的結果.

Adams 与 Holstein<sup>[6]</sup> 討論了(A.23)中  $D$  代以  $\delta$  函数时的发散及其消除問題, 指出考虑声子的能量或綫寬能消除发散, 其中重要的是綫寬效应, 但是他們沒有認真对待这个問題. 用本文得到的公式能自然地处理它. 下面以稳定横向电导为例进行討論.

在单电子近似下, (56)展至  $W$  的最低級可以写为

$$\begin{aligned} \sigma_{xx} = e^2 \sum_{\alpha\alpha'} \frac{1}{2} (R_x(\alpha) - R_x(\alpha'))^2 2\pi |V_{\alpha\alpha'}|^2 \beta f(\epsilon_{\alpha})(1 - f(\epsilon_{\alpha'})) \times \\ \times \int_{-\infty}^{\infty} dE \Delta_E(\alpha) \Delta_E(\alpha'). \end{aligned} \quad (\text{A.24})$$

假設除了态密度以外, 其他函数都是  $\epsilon_{\alpha}, \epsilon_{\alpha'}$  的平滑函数(这至少在半导体中可以成立), 在这些函数中可令  $\epsilon_{\alpha} = \epsilon_{\alpha'}$ , (A.24)成为

$$\sigma_{xx} = e^2 \sum_{\alpha\alpha'} \frac{1}{2} (R_x(\alpha) - R_x(\alpha'))^2 2\pi |V_{\alpha\alpha'}|^2 \Delta(\epsilon_{\alpha} - \epsilon_{\alpha'}) \frac{df}{d\zeta}, \quad (\text{A.25})$$

$\zeta$  为費米能量. 在(A.25)中, 完成对  $\epsilon_{\alpha'}$  的积分:

$$\begin{aligned} \sigma_{xx} = \frac{2}{(2\pi)^4} m^3 e^2 \sum_{nn'} \int \frac{dk_y}{L_x} \frac{dk'_y}{L_x} \int_{(n+\frac{1}{2})\omega_H}^{\infty} \left[ \epsilon_{\alpha} - \left( n + \frac{1}{2} \right) \hbar \omega_H \right]^{-\frac{1}{2}} d\epsilon_{\alpha} \times \\ \times \frac{1}{2} (R_x(\alpha) - R_x(\alpha'))^2 2\pi |V_{\alpha\alpha'}|^2 E^{-\frac{1}{2}} \left( \epsilon_{\alpha} - \left( n' + \frac{1}{2} \right) \hbar \omega_H \right) \frac{df(\epsilon_{\alpha})}{d\zeta}, \end{aligned} \quad (\text{A.26})$$

其中  $E^{-\frac{1}{2}}(x)$  函数的定义是

$$E^{-\frac{1}{2}}(x) = \Gamma_{\alpha\alpha'} [2(x^2 + \Gamma_{\alpha\alpha'}^2)(\sqrt{x^2 + \Gamma_{\alpha\alpha'}^2} - x)]^{-\frac{1}{2}}. \quad (\text{A.27})$$

它具有漸近性質:

$$E^{-\frac{1}{2}}(x) \approx x^{-\frac{1}{2}} \quad \text{当 } x \gg \Gamma_{\alpha\alpha'}.$$

在得到(A.25)时, 我們曾認  $\Gamma_{\alpha\alpha'}$  是一小数, 但是用(72)来計算  $\Gamma_{\alpha\alpha'}$ , 发现它在  $\epsilon_{\alpha}$  (或  $\epsilon_{\alpha'}$ ) 等于  $\left( n + \frac{1}{2} \right) \hbar \omega_H$  [或  $\left( n' + \frac{1}{2} \right) \hbar \omega_H$ ] 时是发散的, 因此得到不自洽的結果. 为了使結果自洽, 在計算  $\Gamma_{\alpha\alpha'}$  时也必须考虑消除发散問題, 由此将导致一決定  $\Gamma_{\alpha\alpha'}$  的积分方程:

$$\begin{aligned} \Gamma_{\alpha\alpha'} = \sum_{\alpha''} \left\{ |V_{\alpha\alpha''}|^2 \frac{\Gamma_{\alpha\alpha''}}{(\epsilon_{\alpha''} - \epsilon_{\alpha})^2 + \Gamma_{\alpha\alpha''}^2} + |V_{\alpha'\alpha''}|^2 \frac{\Gamma_{\alpha'\alpha''}}{(\epsilon_{\alpha''} - \epsilon_{\alpha'})^2 + \Gamma_{\alpha'\alpha''}^2} \right\} \times \\ \times (1 - f(\epsilon_{\alpha})). \end{aligned} \quad (\text{A.28})$$

$\alpha, \alpha'$  与  $\alpha''$  态的能量近于相同. (A.28) 在一般情况下是不能解的, 若只为了对切断的数

量级作一估计,可以认为

$$\Gamma_{aa'} \approx \Gamma_{a'a''} \approx \Gamma_{aa'}, \quad (\text{A.29})$$

作为一个例子,考虑量子极限情况,这时可以忽略(A.28)中对 $n''$ 的求和. 完成对 $\varepsilon_{a''}$ 的积分,利用(A.29)得到

$$[2(\varepsilon_a^2 + \Gamma_{aa'}^2)(\sqrt{\varepsilon_a^2 + \Gamma_{aa'}^2} - \varepsilon_a)]^{1/2} = \varepsilon_a^{1/2} \Gamma_{aa'}^0. \quad (\text{A.30})$$

$\Gamma_{aa'}^0$ 是将 $D$ 代以 $\delta$ 得到的发散的线宽,  $\Gamma_{aa'}^0 \propto \varepsilon_a^{-1/2}$ (当 $\varepsilon_a \rightarrow 0$ 时). 由(A.30)得到 $\Gamma_{aa'}$ 的渐近行为:

$$\left. \begin{aligned} \Gamma_{aa'} &\approx \Gamma_{aa'}^0 && \text{当 } \varepsilon_a \gg \Gamma_{aa'}^0 \text{ 时,} \\ \Gamma_{aa'} &\approx \left(\frac{1}{2} \varepsilon_a \Gamma_{aa'}^0\right)^{1/3} && \text{当 } \varepsilon_a \ll \Gamma_{aa'}^0 \text{ 时.} \end{aligned} \right\} \quad (\text{A.31})$$

在消除发散后 $\Gamma_{aa'}$ 是 $\varepsilon_a$ 的平滑函数, $\varepsilon_a^{1/2} \Gamma_{aa'}^0$ 也是 $\varepsilon_a$ 的平滑函数,于是可以由下式决定能量 $\varepsilon_a^c$ :

$$\varepsilon_a^c = 2^{-2/3} \Gamma_{aa'}^0(\varepsilon_a^c). \quad (\text{A.32})$$

近似地有:

$$\left. \begin{aligned} \Gamma_{aa'} &\approx \Gamma_{aa'}^0 && \text{当 } \varepsilon_a > \varepsilon_a^c \text{ 时,} \\ \Gamma_{aa'} &\approx \varepsilon_a^c && \text{当 } \varepsilon_a \leq \varepsilon_a^c \text{ 时.} \end{aligned} \right\} \quad (\text{A.33})$$

由(A.28)得到

$$\left. \begin{aligned} \Gamma_{aa'} &= (2\pi)^{-2} \frac{1}{2} (2m)^{3/2} \int \frac{dk_y'}{L_x} (\pi |V_{aa''}|^2 + \pi |V_{a'a''}|^2) \varepsilon_a^{-1/2} (1 - f(\varepsilon_a)) \\ &\quad \text{当 } \varepsilon_a > \varepsilon_a^c \text{ 时,} \\ \Gamma_{aa'} &= m(2\pi)^{-4/3} \left[ \int \frac{dk_y'}{L_x} (\pi |V_{aa''}|^2 + \pi |V_{a'a''}|^2) (1 - f(\varepsilon_a)) \right]^{2/3} \\ &\quad \text{当 } \varepsilon_a \leq \varepsilon_a^c \text{ 时.} \end{aligned} \right\} \quad (\text{A.34})$$

为讨论上述消除发散的实际情况,考虑 $E^{-1/2}(x)$ 函数的性质. 图2给出了 $x^{-1/2}$ 与 $E^{-1/2}(\Gamma x) \Gamma^{1/2}$ 的比较. 当 $x > 1$ 时,可用 $x^{-1/2}$ 近似代替 $E^{-1/2}(\Gamma x) \Gamma^{1/2}$ . 当 $x < 1$ 时,由于 $E^{-1/2}(\Gamma x) \Gamma^{1/2}$ 是 $x$ 的平滑函数,可用 $x=0$ 的值代替它:

$$\Gamma^{1/2} E^{-1/2}(0) \approx 1/\sqrt{2}.$$

于是横向电导在量子极限下可以将对 $\varepsilon_a$ 的积分分成二部分:

$$\begin{aligned} \sigma_{xx} &= 2(2\pi)^{-4} m^3 e^2 \int \frac{dk_y}{L_x} \frac{dk_y'}{L_x} \left[ \int_{\varepsilon^c}^{\infty} \frac{d\varepsilon_a}{\varepsilon_a} \times \right. \\ &\quad \times \frac{1}{2} (R_x(\alpha) - R_x(\alpha'))^2 2\pi |V_{aa'}|^2 \frac{df(\varepsilon_a)}{d\varepsilon} + \\ &\quad \left. + \frac{1}{2} (R_x(\alpha) - R_x(\alpha'))^2 2\pi |V_{aa'}|^2 \frac{df(0)}{d\varepsilon} \sqrt{2} \right]. \quad (\text{A.35}) \end{aligned}$$

其第一项即 Adams 与 Holstein 计算的对数发散项  $-\ln \frac{\varepsilon^c}{kT}$ , 相对这一项说,第二项是

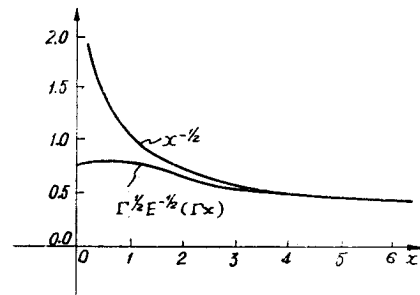


图 2

$\left(\frac{\epsilon^c}{kT}\right)^0$  項。在实际情况下, 这二者具有相同的数量級, 不能将后者忽略掉。例如(A.35)将使横阻与纵阻的比值  $\rho_T/\rho_L$  增加一倍, 从而与实验值符合。

Sladek<sup>[13]</sup> 在 InSb 中的实验表明, 高温压电散射是主要的散射机构。对这种散射机构得到<sup>[13]</sup>

$$\rho_T/\rho_L = 3 \left(\frac{\hbar\omega_H}{kT}\right)^{\frac{1}{2}} \left[ \frac{Ei(\epsilon)}{\sqrt{\pi} J(\epsilon)} - \frac{1}{2} \left(\frac{kT}{\hbar\omega_H}\right)^{\frac{1}{2}} \right]. \quad (\text{A.36})$$

其中

$$J(\epsilon) = 1 - \frac{1}{\sqrt{\pi}} \int_0^\epsilon e^{-x} x^{-\frac{1}{2}} dx,$$

$\epsilon = \epsilon^c/kT$ 。利用(A.35)得到的结果是简单地将(A.36)改为下式:

$$\rho_T/\rho_L = 3 \left(\frac{\hbar\omega_H}{kT}\right)^{\frac{1}{2}} \left[ \frac{E_i(\epsilon) + \sqrt{2}}{\sqrt{\pi}} - \frac{1}{2} \left(\frac{kT}{\hbar\omega_H}\right)^{\frac{1}{2}} \right]. \quad (\text{A.37})$$

$J(\epsilon)$  积分在  $\epsilon \rightarrow 0$  时没有发散问题, 在(A.37)中就取为 1。估计对  $\epsilon$  的重新计算不会有较大的改进, 假设仍取 Sladek 的结果, 则(A.37)对 Sladek 的值的修正为

$$\Delta(\rho_T/\rho_L) = 3 \sqrt{\frac{2}{\pi}} \left(\frac{\hbar\omega_H}{kT}\right)^{\frac{1}{2}}. \quad (\text{A.38})$$

对 Sladek 在 77° K 时进行的实验有

$$\Delta(\rho_T/\rho_L) = 2.6 \times 10^{-2} B^{\frac{1}{2}}. \quad (\text{A.39})$$

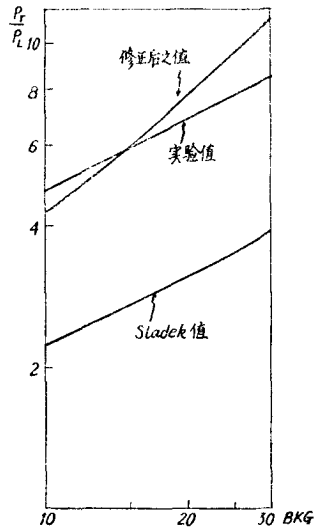


图 3

其中  $B = H$ , 以高斯为单位。由图 3 可见, (A.39) 的修正能使理论值与实验值接近符合。由于实验条件并不与量子极限情况很一致, 在这里将不把二者作仔细比较。

### 参 考 文 献

- [1] Titeica, V. S., *Ann. Physik*, **22** (1935), 129.
- [2] Лифшиц, И. М., *ЖЭТФ*, **3** (1956) 774; *Jour. Phys. Chem. Solids*, **4** (1958), 11.
- [3] Косевич, А. М., Андреев, В. В., *ЖЭТФ*, **38** (1960), 882.
- [4] Argyres, P. N., *Phys. Rev.*, **109** (1958) 1115.
- [5] Argyres, P. N., *Phys. Rev.*, **117** (1960), 315.
- [6] Adams, E. N. and Holstein, T. D., *J. Phys. Chem. Solids*, **10** (1959), 254.
- [7] Kubo, Hasegawa and Hashitsume, *J. Phys. Soc. Japan.*, **14** (1959), 56.
- [8] Van Hove, *Physica*, **21** (1955), 517; **23** (1957), 441.
- [9] 陈式刚, *物理学报*, **19** (1963), 456.
- [10] 霍裕平, *物理学报*, **19** (1963), 791.
- [11] Van Hove, *Physica*, **25** (1959), 268.
- [12] 例如参考 陈春先, *物理学报*, **18** (1962), 563.
- [13] Sladek, R. J., *J. Phys. Chem. Solids*, **16** (1960), 11.



## PERTURBATION THEORY OF TRANSVERSE TRANSPORT PROCESS IN STRONG MAGNETIC FIELD

CHEN SHI-KANG

### ABSTRACT

Using the theory developed in [9], certain questions of transport process in strong magnetic field are discussed. In the first place, we show that for this type of transport process one must consider the boundary condition explicitly. For transverse conductivity, it is not necessary to solve the kinetic equation of the Boltzmann type when the boundary condition is treated correctly, and Titeica's picture is shown to be correct in general order of perturbation expansion. Secondly, the solution of the case of external electric field's  $\omega \neq 0$  and its transition to the classical case are discussed. We show that under the same condition  $\omega_H \tau > 1$ ,  $E_0 \tau \gg 1$ , the quantum solution is different from that of the classical case. Finally, in an appendix, the question of eliminated divergence produced by the integral of state density is discussed. We indicate that in the realizable case a term of magnitude  $(\epsilon_c/kT)^0$  is as important as that of  $-\ln(\epsilon_c/kT)$ . This correction makes the theoretical value of  $\rho_T/\rho_L$  consistent with the experimental data.